

高菊霞, 杨碧轩, 程永进, 等. 闪电和大气电场资料在预警业务中的应用 [J]. 陕西气象, 2015 (S1): 20-24.

文章编号: 1006-4354 (2015) S1-0020-05

闪电和大气电场资料在预警业务中的应用

高菊霞, 杨碧轩, 程永进, 杨 舟

(陕西省防雷中心, 西安 710014)

摘要: 近 9 a 来, 陕西省的闪电定位监测和大气平均电场资料不断积累, 同时在预报预警业务中不断应用和研究, 实践表明: 闪电与强降水相关性好, 在预报业务中, 可以利用闪电实时监测资料有效预警强降水的移动方向、发生区域, 也可以有效测估测降水量; 地闪的演变可以预测雷暴的移动方向, 地闪对雷达回波有明显的引导作用, 闪电发生比 $\geq 30 \text{ dBz}$ 的回波出现提前约 10 min; 结合高低空观测、卫星云图、雷达、闪电监测实况等资料, 关注大气电场强度变化、快速抖动特征, 大气电场雷电预警可提前约 28 min。

关键词: 闪电; 大气电场; 预警; 应用

中图分类号: P427.32

文献标识码: A

1 闪电定位监测资料的应用

1.1 闪电定位监测网

陕西省布设 11 个闪电定位探测仪, 建成覆盖全省的闪电定位监测网, 实时监测全省每一次闪电发生时间、位置、强度等信息, 经过 9 a 业务运行, 监测资料成为雷电预警、短时临近预报和雷电灾害防护研究的科学数据基础; 同时在雷电监测、预报、预警、风险评估业务工作中发挥了显著的效益, 为防雷减灾服务, 有效减少因雷电灾害带来的经济损失。

1.2 闪电资料的应用研究

1.2.1 闪电与降水的关系 闪电与降水的关系长期以来一直引人关注。Sheridan 等^[1]、Petersen^[2]、Williams 等^[3]的观测研究表明, 雷电与对流性风暴产生的降水有很好的相关性, 因此雷暴的地闪活动可以用于局地强降水的短时预报或估测降水。Luis 等^[4]研究对流降水量与地闪关系及其相关系数为 0.65~0.75。张义军等^[5]、周筠君^[6]讨论地闪和降水的相关性, 利用地闪对

一般性对流天气中的降水进行了估测。高菊霞等^[7]对陕西强雷电天气分析得出暴雨落区与闪电密集区对应较好, 闪电集中区域也是暴雨落区, 对区域性暴雨, 闪电密集区一定有暴雨发生, 但暴雨发生区域不一定是闪电密集区; 在预警业务中, 闪电与降水相关性也比较好, 例如 2013-08-04 伴随大风和强冰雹发生了局地性较强的一次雷电天气过程, 全省共发生闪电 3 257 次。雷电集中发生在榆林地区, 达 3 170 次。榆林市区闪电频次最大, 1 小时内发生闪电达 649 次, 同时冰雹、大风天气也很剧烈。闪电与降水相关性好, 闪电密集区与降水发生区域比较吻合, 最大降水为 66.8 mm。

1.2.2 闪电资料在预报中的应用 早在 1987—1991 年, 美国就利用其覆盖全国的雷电监测网 (NLDN) 进行站网观测运行实验, 美国国家强风暴预报中心 (NSSFC) 1988—1990 年组织相应的“闪电资料应用于强对流天气预报业务”的评估研究, 并肯定了闪电资料可以有效地改进强

收稿日期: 2014-12-18

作者简介: 高菊霞 (1972—), 女, 汉族, 陕西眉县人, 学士, 高级工程师, 从事雷电监测、预报、预警业务服务和雷电临近预警研究。

基金项目: 2013 年度陕西省气象局预报员专项 (2013 Y-11)

对流天气的诊断和预报。近几年, 美国民航气象局和 NSSFC 已经有了可用于业务的诊断和预报技术, 用户已可以很方便地从 NLDN 索取闪电资料及其预报产品。国内外很多气象工作者也通过对强对流天气过程的闪电研究发现, 利用地闪分布和演变情况可以预测雷暴的移动和演变情况, 由此可以提供雷击的预报和警报信息。Hondl^[8] 1994 年利用 28 个雷暴的资料来研究 Doppler 雷达资料在预报雷暴开始和地闪发生中的作用。高菊霞等^[9] 分析陕西省雷电过程发现, 地闪对雷达回波有明显的引导作用。陕西省雷电预报预警业务经验也证实, 配合雷达资料, 利用雷电定位资料进行雷暴和闪电的临近预报是完全可行的。2007-08-08 的雷暴天气过程, 从 19 时开始, 闪电在宝鸡西北部和咸阳西部发生, 闪电频数逐步加强并东移, 为了更清晰分析闪电与雷达回波变化特征, 根据雷达体扫间隔 6 min 资料, 统计每 6 min 闪电发生情况, 由图 1 看出, 闪电频数由 19 时的 23 次逐渐增加, 半小时增加到 164 次, 随着对流回波不断增强, 缓慢东移至咸阳和西安西部, 频数不断增强, 到 20: 30 闪电频数达 567 次, 随后半小时略有减弱, 到 21 时闪电频数达到最大 611 次, 21: 30 减弱到 47 次, 雷电回波也随之减弱; 整个过程中正闪频数也在逐步加强, 且大部分正闪往往出现在较强回波前部, 随后减弱; 由闪电与回波分时次叠加图 (图 2) 可以明显看出, 闪电除在强回波区出现外, 部分闪电的发生也出现在雷达回波的前端, 对雷达回波的走向有一定的引导作用, 特别是正闪的发生更加显著; 综合对比, 闪电发生比 $\geq 30 \text{ dBZ}$ 的回波出现提前约

10 min。

2 陕西大气电场仪资料的应用

2.1 大气电场仪监测

陕西省从 2007 年开展大气电场预警实验研究, 分别在泾河、洛川建成 2 台大气平均电场仪, 经过两年试验运行, 发现大气电场监测对局地雷暴天气的预警效果较显著, 但因仪器本身通信传输需要占用大量网络资源, 运行效果不好。2009 年在长安区、临潼、华山、秦都区建成 4 部大气电场仪 (中国气象局华云公司设备), 充分利用气象部门各台站专用网络资源, 解决了资料实时传输问题, 2010 年正式投入业务运行, 在西安世界园艺博览会气象服务中发挥了很好的监测预警作用, 2012 在国家气象局的支持下, 分别在陕北北部和关中增加 20 台大气电场仪, 现已建成 26 台, 在近 2 a 的雷电预警业务中发挥了重要作用。

2.2 大气电场资料的应用

大气电场强度是大气电学的基本参数, 在晴天电学、雷暴电学以及闪电的研究中, 都有重要意义, 在雷暴和闪电监测中具有重要作用。大气电场仪可以测量地面大气电场的强度和极性, 可连续监测对流云起电过程, 因此既能够记录闪电发生前雷暴中的电活动, 又可记录雷暴过程中发生的闪电。超短时预报雷电, 必须监测在雷雨云发生首次闪电之前的强电荷活动中心的发生、发展、演变, 对这一期间对流云中雷电活动的监测对雷电的超短时预报更为重要, 它是闪电产生的前奏, 如果能准确了解首次闪电发生之前对流云中的电活动状况, 可以大大提前预报闪电的发生, 而地面电场观测则是提供雷暴首次闪电之前

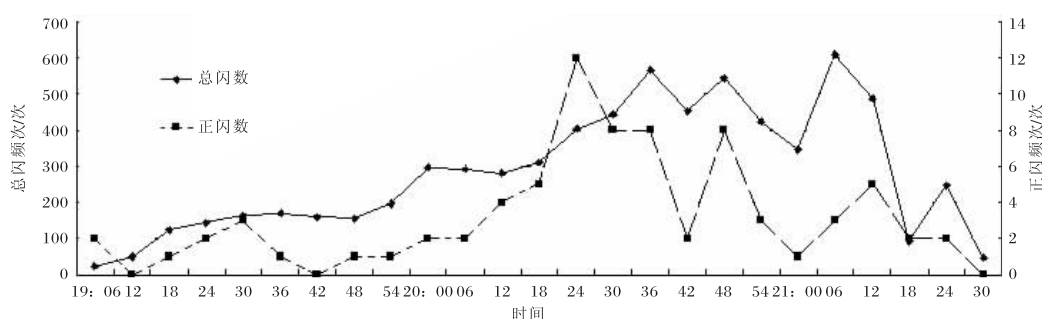


图 1 2007-08-08T19—21 陕西省每 6 min 闪电频次变化

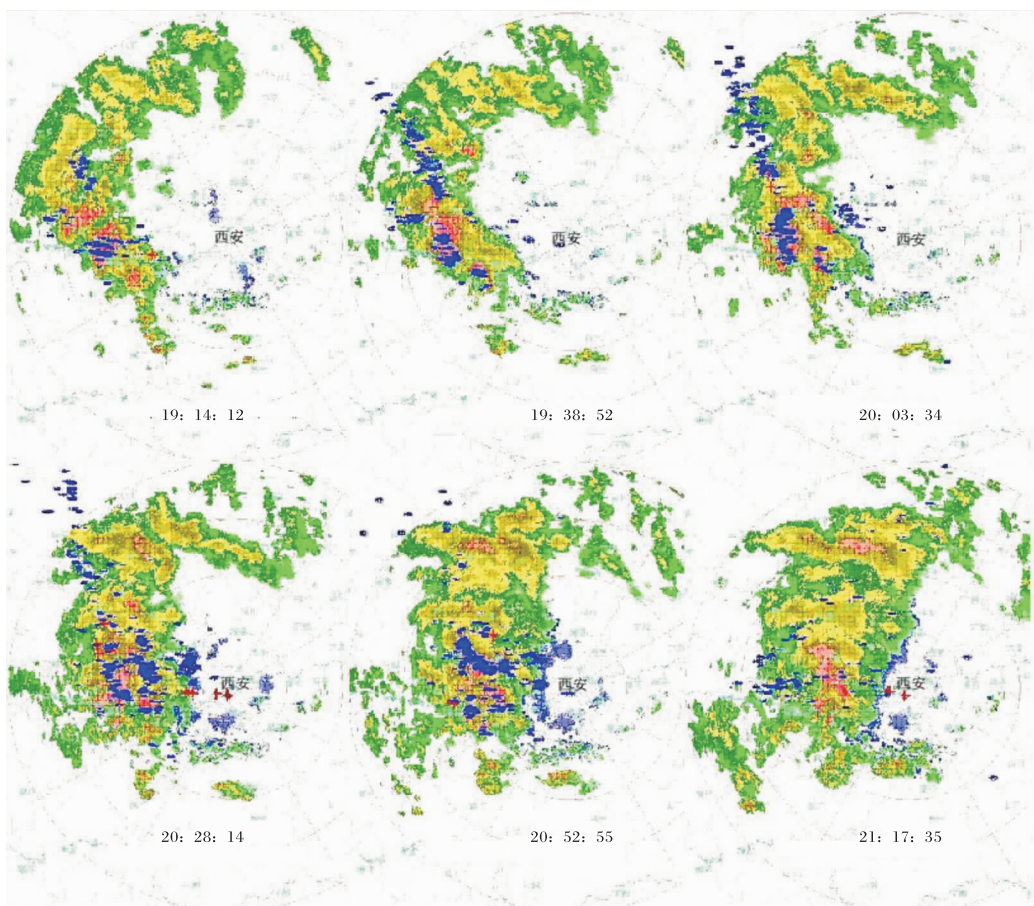


图 2 2007-08-08 西安多普勒雷达回波与闪电叠加 (红色、蓝色为正、负闪)

云中电活动发展演变特征的易于实现的重要手段。因此通过地面电场仪监测,结合其他气象观测手段,将为雷电和灾害性天气过程预报技术的发展提供新的方法。

2.3 大气电场预警方法

首先电场报警应以电场强度到达的门限等级、初始阶段是否有快变抖动为判断的标准。闪电报警以闪电发生的位置和电场仪之间的距离为参考。综合两种报警手段,再结合人工判断雷电的移动趋势和对报警提前时间的要求,以及结合电场仪安装的位置和本地地形条件等因素,适当改变报警等级,实现更准确的雷电短时预警。电场门限为 2 kV/m 、 5 kV/m 、 8 kV/m 、 12 kV/m 、 15 kV/m 五级报警。开始阶段的电场抖动可有效地减少误报的机会,如果整个过程没有电场快变抖动出现,就可以将电场报警门限提高一个等级,这样在整个过程中,都不会报警。由于阶段 1 没有抖动出现,电场达到 5 kV/m ,但仍维

持 1 级报警;直到阶段 2 的中期,出现了抖动,则恢复报警,电场报警等级达到了 3 级。加入快变抖动不会出现漏报现象。其次,将电场和闪电资料结合,能够更加直观的对雷电的活动状况进行实施监测,同时可大大提高短时预报的准确性。以电场仪为中心画 5 km 、 10 km 、 20 km 、 50 km 的 4 个圈,落雷位置离电场仪越近,闪电报警等级越高,这样根据闪电距离预报中心的距离共分 4 级报警。综合闪电和电场,可以得到最多 9 级的报警等级。

2.3.1 预警方法检验 2011-07-21 陕西全省发生了 6 945 次闪电,主要分布在陕北北部和关中、陕南西部地区,西安周边雷电天气明显,整个西安地区发生闪电 202 次,以西安大气电场探测站 (108.938°E , 34.306°N) 为 中心, 50 km 范围内发生闪电 161 次, 30 km 范围内发生闪电 88 次, 10 km 范围内无闪电发生;雷暴云由西南向东北方向移动,西安上游的秦都区

10 km 范围内发生闪电最多 20 次; 西安南部的长安站 10 km 范围内发生闪电 8 次。按照大气电场预警方法中的阈值范围分析各个探测站的预警提前量(表 1), 可以看出, 大气电场监测预警效果明显, 首次报警和快速抖动时间上的提前量非常有意义, 西安周边 5 个大气电场探测站, 都不同程度有电场强度的明显波动, 由

表 1 可以看出, 秦都区站虽然本站未报警, 但处在西安城区上游, 在 04—07 时电场变化非常明显, 对西安城区雷电发生预警提示明显, 西安南部长安区站处于西安主城区的上游, 两个特征量的提前预警平均有 9 min, 西安周边各个大气电场预警提前时间为 5~77 min, 平均提前量约为 28 min。

表 1 2011-07-21 西安周边各个探测站的预警特征

站名	10 km 雷电时段	10 km 雷电次数	2 kV/m 预警时间	提前量/min	快速抖动时间	提前量/min
秦都区	04: 42—07: 20	20	未报警	—	—	—
泾河	08: 55—09: 15	5	08: 50	5	08: 22	33
长安	08: 16—08: 58	8	08: 05	11	08: 09	7
临潼	09: 21—10: 17	6	08: 48	33	08: 04	77

2.3.2 预警方法应用 大气电场监测预警在业务实践中, 一定要紧密结合高低空基本观测资料、卫星云图、雷达观测以及闪电定位监测实况等信息, 了解雷暴云的移动路径、高低空配置、水汽、不稳定层结等条件, 判别其是否有利雷暴天气的发生。另外必须明白大气电场仪探测到的不完全是单体雷暴的电场, 而是多单体雷暴在地面产生的电场大小; 电场值的大小与雷暴云距测站的距离、雷暴云的发展阶段及雷暴云的回波强度有关。密切关注上游地区的大气电场强度变化是很有意义的, 例如 2011

—07—21 雷电过程中, 雷暴云由西南向东北方向移动, 长安站位于西安主城区的上游, 其大气电场强度变化对西安城区的预警指示意义明显, 长安站从 06 时出现明显电场波动, 由图 3 可知, 08—11 时大气电场强度在 -15 kV/m~15 kV/m 范围内变化, 且波形变化中快速抖动非常明显, 长安站 08: 05 一级报警 (电场值等于 2 kV/m), 比本站首次雷电提前 11 min, 快速抖动出现在 08: 09, 比首次雷电提前 7 min, 用长安站大气电场变化预警西安城区雷电效果会更好。

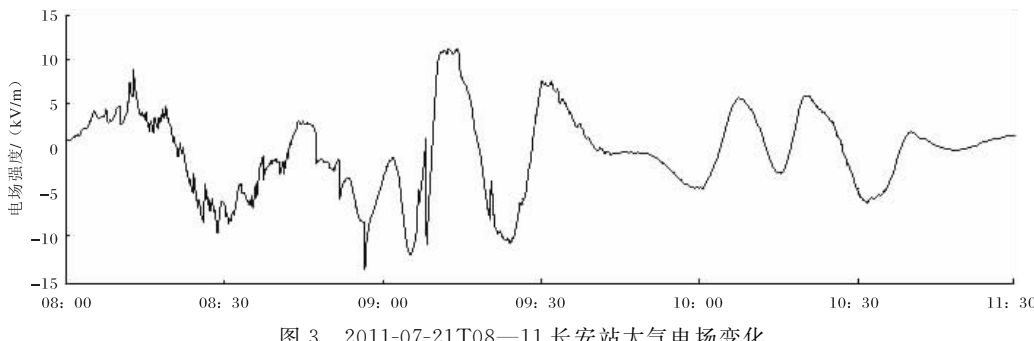


图 3 2011-07-21T08—11 长安站大气电场变化

3 小结

(1) 闪电与强降水相关性好, 闪电密集区与降水发生区域比较吻合, 在预报业务中, 可以利用闪电实时监测资料预警短时强降水的移动方向、发生区域, 也可以利用闪电监测估测降

水量。

(2) 利用地闪分布和演变情况可以预测雷暴的移动方向和演变情况, 通过同时段的地闪监测和雷电回波叠加分析发现, 地闪对雷达回波有明显的引导作用, 闪电发生比 ≥ 30 dBZ 的回波出

焦小毅, 焦溥, 储子丰. 某花炮厂机械混装药车间爆炸事故解析 [J]. 陕西气象, 2015 (S1): 24–25.

文章编号: 1006-4354 (2015) S1-0024-02

某花炮厂机械混装药车间爆炸事故解析

焦小毅, 焦溥, 储子丰

(安康市防雷中心, 陕西安康 725000)

摘要: 安康市某烟花爆竹生产企业生产线首次投入使用, 混药车间发生爆炸。介绍发生爆炸的生产线的具体资料, 记录现场勘查防雷防静电数据, 分析爆炸事故发生原因, 对生产线防雷防静电提出建议和措施。

关键词: 混装药; 爆炸事故; 防护措施

中图分类号: P49

文献标识码: B

安康市某烟花爆竹生产企业采用来自湖南省一套烟花爆竹生产线, 该生产线属于首次生产试用, 其中技术装药车间改为人机分离, 混装药为

机械操作, 但在 20 d 内发生两起爆炸事故。事故发生后, 生产厂家邀请气象、安监等各单位专家前往事故现场勘察分析事故的起因, 是否由防

收稿日期: 2014-12-18

作者简介: 焦小毅 (1963—), 男, 汉族, 陕西安康人, 工程师, 从事防雷技术服务工作。

现提前约 10 min。

(3) 在业务实践中, 大气电场资料对雷暴天气的预警意义明显, 结合高低空观测、卫星云图、雷达、闪电监测实况等资料, 关注大气电场强度变化、快速抖动特征, 利用大气电场预警方法, 可以提前约 28 min 预警雷电的发生。

参考文献:

- [1] Sheridan S C, Griffiths J F, Orville R E. Warm season cloud-to-ground lightning-precipitation relationships in the south-central United States [J]. Wea Forecasting, 1997, 12: 449–459.
- [2] Petersen W A, Rutledge S A. On the relationship between cloud-to-ground lightning and convective rainfall [J]. J Geophys Res, 1998, 103: 14025–14040.
- [3] Williams E R, Weber M E, Orville R E. The relationship between lightning type and convective state of thunderclouds [J]. J Geophys Res, 1989, 94: 13213–13220.
- [4] Luis Rivas Soriano, Fernando De Pablo, Eulogio Garcia Diez. Relation between convective precipitation and cloud-to-ground lightning in the Iberian Peninsula [J]. Mon Wea Rev, 2001, 129: 2998–3003.
- [5] 张义军, 华贵义, 言穆弘. 对流和层状云系电活动对流及降水特性的相关分析 [J]. 高原气象, 1995, 14 (4): 396–405.
- [6] 周筠君, 张义军, 郭秀书, 等. 陇东地区冰雹云系发展演变与其地闪的关系 [J]. 高原气象, 1999, 18 (2): 236–244.
- [7] 高菊霞, 张雅斌, 金丽娜. 地闪过程与降水量及雷达回波相关性特征分析 [J]. 陕西气象, 2008 (6): 1–6.
- [8] Hondl K D, Eilts M D. Doppler radar signatures of developing thunderstorms and their potential to indicate the onset of cloud-to-ground [J]. Mon Wea Rev, 1994, 122: 1818–1836.
- [9] 高菊霞, 武麦凤, 徐军昶. 陕西两次特强雷电天气过程物理量场对比分析 [J]. 陕西气象, 2012 (4): 6–12.